

Prácticas de Laboratorio de Mecánica de Fluídos

Concepción Paz Penín

Eduardo Suárez Porto

Miguel Concheiro Castiñeira

Marcos Conde Fontenla

Universidade de Vigo

Servizo de Publicacións

2018

MANUAIS DA UNIVERSIDADE DE VIGO, N°. 71

Edición

Servizo de Publicacións da Universidade de Vigo
Edificio da Biblioteca Central
Campus de Vigo
36310 Vigo

© Servizo de Publicacións da Universidade de Vigo, 2018

© Concepción Paz Penín, Eduardo Suárez Porto, Miguel Concheiro Castiñeira e Marcos
Conde Fontenla

ISBN: 978-84-8158-795-1

D.L.: VG 489-2018

Impresión: Tórculo Comunicación Gráfica, S.A.

Reservados todos os dereitos. Nin a totalidade nin parte deste libro pode reproducirse ou transmitirse por ningún procedemento electrónico ou mecánico, incluidos fotocopia, gravación magnética ou calquera almacenamento de información e sistema de recuperación, sen o permiso escrito do Servizo de Publicacións da Universidade de Vigo.

Prólogo

Motivación e obxectivos

Tipicamente, dentro da maioría das titulacións de Enxeñería, a porcentaxe de materias ou partes das mesmas de natureza experimental é elevada. Esta tradición que ven de lonxe, segue a ser totalmente necesaria, se cadra con máis forza hoxe en día. As disciplinas como a Mecánica de Fluídos, non poden esquecer o traballo de laboratorio, de cara a validar de forma experimental e mediante a visualización, os resultados obtidos de forma teórica na aula.

O coñecemento experimental aporta ao alumnado unha visión real e intuitiva dos conceptos físicos, que é imprescindible para poder analizar dun xeito crítico os coñecementos teóricos. Deste xeito, os conceptos teóricos aséntanse en base á experimentación e sustentan un aprendizaxe estable e duradeiro. Citando a Confucio: "Contáronmo e esquecino, o vin e o entendín, fíxeno e aprendino".

Preténdese que este manual sexa empregado como referencia para realización das prácticas de laboratorio polo alumnado de Mecánica de Fluídos, de segundo curso das titulacións de Grado en Enxeñería Mecánica, Grado en Enxeñería en Tecnoloxías Industriais, Grado en Enxeñería Química Industrial, Grado en Enxeñería Electrónica Industrial e Automática, Grado en Organización Industrial, Grado en Enxeñería Eléctrica, Grao en Enxeñería da Enerxía, Grao en Enxeñería dos Recursos Mineiros e Enerxéticos, e Grado en Enxeñería Aeroespacial.

Pese ao feito constatado da importancia da experimentación en materias coma Mecánica de Fluídos, a literatura previa existente neste campo é es-

casa, non é recente (os laboratorios actualizan e modernizan a súa dotación cos anos), e ademais, encóntrase moi diseminada. Os autores, todos profesores con varios anos de docencia en Mecánica de Fluídos, consideran importante a recompilación e actualización destes contidos nun texto de referencia para o alumnado.

Tivéronse en conta catro aspectos para a realización do mesmo:

- Conducir ao estudiante a unha comprensión clara dos principios da Mecánica de Fluídos, tendo en conta que estes son básicos para moitas materias posteriores que se sustentan sobre os coñecementos desta.
- Desenvolver unha aprendizaxe intuitiva mediante a inclusión de contidos de carácter máis descriptivo. A este fin, este manual engade moita axuda visual: numerosas fotografías, gráficos, esquemas e diagramas conceptuais, especificamente creados para os nosos bancos de ensaio e así facilitar a comprensión dos montaxes e experimentos a realizar.
- Relacionar os coñecementos impartidos en teoría coa realización experimental das prácticas de laboratorio. Sen pretender substituíla, senón complementar a aquela, e relacionala dun xeito moi sinxelo coas medidas empíricas a realizar.
- Guiar dun xeito claro e sinxelo ao alumnado, sobre cales son os pasos a seguir para completar satisfactoriamente as diferentes prácticas de laboratorio, servíndolles de guión, pero fomentando a sua actitude crítica e participación na elaboración da mesma.

Estrutura

Este libro está organizado en oito capítulos, correspondentes aos diferentes equipos do laboratorio de Mecánica de Fluídos. Atendendo ás diferentes prácticas que se pueden facer con cada equipo, conforman un total de dez sesións prácticas de dúas horas de realización.

Na primeira instalación, mídese a xeración, evolución, e caracterización dun chorro de aire creado por un orificio en descarga libre á atmosfera. O segundo equipo constitúe a reprodución do famoso experimento de Reynolds,

para caracterizar o réxime de fluxo, laminar ou turbulento. O terceiro capítulo emprega un túnel de vento para medir en modelos a escala reducida o comportamento aerodinámico de diferentes obxectos. De seguido, no cuarto avalánse os efectos hidrodinâmicos no caso dunha lubricación de buxeiro. O seguinte equipo corresponde á instalación con soprador de aire, na que se miden caudais con diferentes métodos, obtéñense curvas características e mídense as perdidas de carga na instalación. O sexto equipo é unha instalación de turbinas hidráulicas que permite caracterizar os parámetros dunha central hidroeléctrica. A séptima parte é unha instalación de bombas que permite caracterizar a asociación de bombas en serie e en paralelo. Por último cuantíficase o efecto dun golpe de ariete nunha instalación de auga comparando os efectos da lonxitude, material e diámetro da instalación.

Para cada un dos equipos facilitanse unhas normas de seguridade e describese a instalación experimental. En cada un dos capítulos, detállanse os fundamentos do seu funcionamento, establecese unha metodoloxía a seguir, e finalmente exponse un apartado de toma de datos e o traballo de gabinete necesario para a consecución dos resultados. Calquera información adicional como táboas, gráficas ou ábacos tamén figuran neste apartado.

Notación e sistema de unidades

Segundo a tradición na materia de Mecánica de Fluídos, a notación seguida é a más estendida na bibliografía sobre a materia. En canto ao sistema de unidades, procurouse o uso do Sistema internacional (SI) na medida do posible. Pero é necesario considerar o feito de que na práctica é usual o emprego de, por exemplo, litros por minuto e bares para expresar caudais volumétricos e presións respectivamente, dados os rangos de operación habituais nas máquinas hidráulicas.

Nomenclatura

A	Área	$[m^2]$
c	Celeridade de onda	$[ms^{-1}]$
C_d	Coeficiente de descarga	$[-]$
C_D	Coeficiente de arrastre	$[-]$
C_L	Coeficiente de sustentación	$[-]$
C_q	Coeficiente de caudal	$[-]$
D, d	Diámetro	$[m]$
e	Espesor	$[m]$
E	Módulo de elasticidade	$[Nm^{-2}]$
f	Factor de fricción	$[-]$
F	Forza	$[N]$
g	Aceleración da gravidade	$[ms^{-2}]$
h	Perdas de carga	$[m]$
H	Altura	$[m]$
I	Intensidade eléctrica	$[A]$
K_m	Coeficiente de descarga	$[-]$
L	Lonxitude	$[m]$

\dot{m}, G	Fluxo ou gasto másico	$[kg\ s^{-1}]$
M	Par	$[Nm]$
Ma	Número de Mach	$[-]$
n	Velocidade de xiro	$[min^{-1}]$
\vec{n}	Vector normal	$[-]$
p	Presión	$[Nm^{-2}]$
Q, \dot{V}	Caudal volumétrico	$[m^3\ s^{-1}]$
r	Radio	$[m]$
Re	Número de Reynolds	$[-]$
S	Superficie	$[m^2]$
t	Tempo	$[s]$
T	Período de tempo	$[s]$
T^a	Temperatura	$[K]$
v	Velocidade	$[ms^{-1}]$
V	Volume//Tensión eléctrica	$[m^3] // [V]$
x, y, z	Coordenadas cartesianas	$[m]$
W	Peso	$[N]$
\dot{W}, P	Potencia	$[kg\ m^2\ s^{-3}]$
z	Cota	$[m]$

Símbolos gregos

β	Coeficiente de descarga	$[-]$
Δ	Variación	$[-]$

ϵ	Rugosidade absoluta	[m]
λ	Espesor relativo	[−]
μ	Viscosidade dinâmica ou molecular	[$kg\ m^{-1}\ s^{-1}$]
η	Rendimento	[−]
ρ	Densidade	[$kg\ m^{-3}$]
ν	Viscosidade cinemática	[$m^2\ s^{-1}$]
γ	Peso específico	[$kg\ m^{-2}\ s^{-2}$]
τ	Esforzo cortante	[$N\ m^{-2}$]
ω	Velocidade angular de xiro	[s^{-1}]

Índice

Nomenclatura	7
1 Medición nun chorro libre de aire	23
1.1 Descripción do banco de ensaios	23
1.2 Normas de seguridade	25
1.3 Obxectivos	25
1.4 Fundamentos	25
1.4.1 Chorro libre	26
1.4.2 Tubo de Pitot	27
1.4.3 Caudal	28
1.4.4 Gasto máxico	29
1.5 Metodoloxía experimental	30
1.5.1 Distribución radial de presións-velocidades	30
1.5.2 Gasto máxico	31
1.5.3 Cantidadade de movemento	32
1.6 Toma de datos e traballo de gabinete	34
2 Experimento de Reynolds	39
2.1 Descripción do banco de ensaios	39
2.2 Normas de seguridade	42
2.3 Obxectivos	42
2.4 Fundamentos	42
2.4.1 Explicación do fenómeno físico	42
2.4.2 Características xerais dos fluxos laminares e turbulentos	46
2.5 Metodoloxía experimental	49

2.5.1	Visualización dos diferentes réximes de fluxo	49
2.5.2	Determinación do número de Reynolds	50
2.5.3	Cálculo do factor de fricción	50
2.6	Toma de datos e traballo de gabinete	51
3	Medición en túnel de vento	53
3.1	Descripción do banco de ensaios	53
3.2	Normas de seguridade	55
3.3	Obxectivos	57
3.4	Fundamentos	57
3.4.1	Tubo de Pitot	57
3.4.2	Tubo de Prandtl	58
3.4.3	Sonda de velocidad de fío quente	59
3.4.4	Balanza de medida de forzas	59
3.4.5	Medidores de presión manométrica	60
3.5	Metodoloxía experimental	61
3.5.1	Distribución de velocidades a distintos caudais de aire no túnel de vento	61
3.5.2	Cálculo do coeficiente de arrastre dun cilindro	61
3.5.3	Distribución de presións ao redor dun perfil de á	62
3.5.4	Cálculo dos coeficientes aerodinámicos para un perfil de á NACA 0012	62
3.6	Toma de datos e traballo de gabinete	64
4	Medición da presión en buxeiros	73
4.1	Descripción do banco de ensaios	73
4.2	Normas de seguridade	76
4.3	Obxectivos	76
4.4	Fundamentos	77
4.4.1	Tipos de Lubricación	77
4.4.2	Viscosidade	79
4.4.3	Curva de Stribeck	80
4.4.4	Lubricación hidrodinámica nun buxeiro cilíndrico	80
4.5	Metodoloxía experimental	82
4.5.1	Efecto da fendedura do buxeiro	82

4.5.2	Efecto da velocidade de xiro	83
4.6	Toma de datos e traballo de gabinete	83
5	Soprador de aire	87
5.1	Descripción do banco de ensaios	87
5.2	Normas de seguridade	87
5.3	Soprador de aire. Medidas de caudal	89
5.3.1	Obxectivos	89
5.3.2	Fundamentos	89
5.3.3	Metodoloxía experimental	95
5.3.4	Toma de datos e traballo de gabinete	98
5.4	Soprador de aire. Perdas de carga	99
5.4.1	Obxectivos	99
5.4.2	Fundamentos	99
5.4.3	Metodoloxía experimental	104
5.4.4	Toma de datos e traballo de gabinete	104
5.5	Soprador de aire. Curvas características	108
5.5.1	Obxectivos	108
5.5.2	Fundamentos	108
5.5.3	Metodoloxía experimental	110
5.5.4	Toma de datos e traballo de gabinete	111
6	Medición en banco de turbinas	115
6.1	Descripción do banco de ensaios	115
6.2	Normas de seguridade	119
6.3	Obxectivos	119
6.4	Fundamentos	120
6.5	Metodoloxía experimental	121
6.5.1	Curva característica dunha turbina Francis (velocidade de xiro constante)	121
6.5.2	Curva característica dunha turbina Francis (posición fixa do distribuidor)	124
6.5.3	Curva característica dunha turbina Pelton (posición fixa do inxector)	125

6.5.4	Curva característica dunha turbina Pelton (velocidade de xiro constante)	125
6.6	Toma de datos e traballo de gabinete	126
7	Medición en banco de bombas	135
7.1	Descripción do banco de ensaios	135
7.2	Normas de seguridade	137
7.3	Obxectivos	137
7.4	Fundamentos	138
7.5	Metodoloxía experimental	140
7.5.1	Medida do caudal	140
7.5.2	Curva característica da bomba e da instalación . . .	141
7.5.3	Curva característica de dúas bombas en serie	142
7.5.4	Curva característica do acoplamento de dúas bombas en paralelo	144
7.6	Toma de datos e traballo de gabinete	144
8	Medición dun golpe de ariete	151
8.1	Descripción do banco de ensaios	151
8.2	Normas de seguridade	155
8.3	Obxectivos	155
8.4	Fundamentos	156
8.4.1	Explicación do fenómeno físico	156
8.4.2	Velocidade da onda de presión	158
8.4.3	Período da tubaxe	161
8.4.4	Tempo de peche	161
8.4.5	Presión máxima en peche total, lento e uniforme da válvula	162
8.4.6	Sistemas de atenuación do golpe de ariete	163
8.5	Metodoloxía experimental	165
8.5.1	Medida da velocidade da onda de presión	165
8.5.2	Amortiguación dos efectos do golpe de ariete mediante cheminea de equilibrio	167
8.5.3	Medida do tempo de estabilización	169
8.5.4	Altura máxima de oscilación	169

8.5.5 Medida da perda de carga no conduto	169
8.6 Toma de datos e traballo de gabinete	170
Bibliografía	175

Índice de Figuras

1.1	Banco de ensaios de chorro libre.	24
1.2	Distribución/perfil de velocidades nas proximidades dunha parede (capa límite).	26
1.3	Esquema simplificado do fluxo de aire no chorro creado. . .	26
1.4	Esquema simplificado de funcionamento dun tubo de Pitot. .	27
1.5	Esquema de Pitot.	29
1.6	Comportamento do chorro, obtención da distribución radial de velocidades.	30
1.7	Volume de control de estudio do chorro.	31
1.8	Comportamento do chorro - Distribución radial de velocidades. .	33
1.9	Comportamento do chorro - Evolución do diámetro do chorro coa altura.	36
1.10	Comportamento do chorro - Evolución das velocidades no eixo coa altura.	36
1.11	Comportamento do chorro - Evolución da impulso coa altura. .	37
2.1	Esquema banco de ensaios.	40
2.2	Detalle das distintas formas do fío de colorante no tubo de visualización do fluxo [31].	41
2.3	Fotografías dos diferentes réximes de fluxo observados na realización do experimento de Reynolds.	44
2.4	Transición Laminar - Turbulento.	45
2.5	Exemplos de fluxos turbulentos. No fume dun tren, nun rápido dun río, ou nunha estela de avión.	48

3.1	Fotografía do túnel de vento en funcionamento.	54
3.2	Esquema e imaxe do túnel de vento empregado.	54
3.3	Detalles dos principais componentes do túnel: (a) balanza e columnas de manómetros, (b) variador de frecuencia, (c) sección de traballo, (d) distribuidor de caudal e ventilador, (e) reixa de protección entrada.	56
3.4	Esquema dos aparatos de medida.	58
3.5	Esquema do Tubo de Prandtl.	58
3.6	Detalle do anemómetro de fío quente.	59
3.8	Detalle das columnas de auga de medición de presión. . . .	60
3.7	Detalle da balanza de medida de forzas.	60
3.9	Esquema conceptual do arrastre nun cilindro.	61
3.10	Esquema conceptual de perda de sustentación nun á, asociado ao ángulo de ataque.	63
3.11	Representación gráfica da distribución / perfil de velocidades a diferentes alturas, para dous caudais.	65
3.12	Gráficas experimentais do arrastre en cilindros e esferas [1–3].	66
3.13	Gráfica de resultado a modo de exemplo.	67
3.14	Distribución de presións sobre o á para diferentes ángulos de ataque.	68
3.15	Coeficiente de sustentación en función do ángulo de ataque.	69
3.16	Coeficiente de arrastre en función do ángulo de ataque. . . .	70
3.17	Cociente C_L/C_D en función do ángulo de ataque.	71
3.18	Valores publicados para o perfil NACA 0012 pola NASA [9].	72
4.1	Fotografía do banco de ensaios.	74
4.2	Equipo de indicación e mando. Manual TM 260 Gunt. . . .	74
4.3	Esquema do banco de ensaios de lubricación de buxeiro. Manual TM 260.06 Gunt.	75
4.4	Viscosidade, analoxía.	79
4.5	Curva típica de Stribeck, e espesor da película de fluido asociado.	81
4.6	Arranque dun buxeiro con lubricación perfecta.	81
4.7	Detalle dun buxeiro con lubricación perfecta.	82

4.8	Modo de traballo da unidade de axuste para a cuncha do buxeiro (anchura da fendedura do buxeiro).	83
4.9	Distribución de presións sobre a cuncha do buxeiro. A presión aumenta ao reducir a fendedura do buxeiro.	84
4.10	Gráfica de resultados. Distribución de presións asociada a diferentes excentricidades do eixo de xiro. Dende 'a' ata 'e', varía a excentricidade, a velocidade constante, en 'c' en está centrado.	85
4.11	Gráfica de resultados. Distribución de presións asociada a diferentes velocidades de xiro. Dende 'a' ata 'e', e dende 'f' ata 'j', aumentamos a velocidade de xiro.	86
5.1	Fotografía do banco de ensaios do soprador.	88
5.2	Esquema completo da instalación.	88
5.3	Detalles dos principais compoñentes do banco de ensaios: (a) manómetros de auga, (b) válvula de diafragma, (c) cóbado na tubaxe, (d) tubo de Pitot-Prandtl, (e) soprador, e (f) venturímetro.	90
5.4	Esquema do flotámetro ou rotámetro.	91
5.5	Esquema do diafragma ou placa orificio.	92
5.6	Esquema do venturímetro.	94
5.7	Esquema do tubo de Pitot-Prandtl.	95
5.8	Coeficiente Km (Placa orificio).	96
5.9	Coeficiente de descarga fronte a Reynolds (Placa orificio). .	97
5.10	Coeficiente de descarga fronte a Reynolds (Venturi). . . .	97
5.11	Coeficiente de velocidades fronte a Re. (Pitot-Prandtl). .	98
5.12	Diagrama de Moody.	105
5.13	Esquema de obtención do punto de funcionamento.	110
5.14	Gráficas de resultados obtidos.	111
6.1	Fotografía do banco de ensaios.	116
6.2	Fotografía das dúas turbinas disponibles: turbina Pelton (esquerda), e turbina Francis (dereita).	116
6.3	Esquema do banco de ensaios e principais compoñentes do mesmo.	117

6.4	Esquema do percorrido da auga nunha turbina tipo Pelton e Francis [22].	122
6.5	Detalle da turbina Pelton en funcionamento.	126
6.6	Curva característica. Velocidade de xiro constante. Posición panca - Potencia no eixo [W].	128
6.7	Curva característica. Velocidade de xiro constante. Posición panca - Rendimento total [%].	129
6.8	Curva característica. Posición fixa distribuidor. Velocidade de xiro, n [rpm] - Par, M [Nm].	132
6.9	Curva característica. Posición fixa distribuidor. Velocidade de xiro, n [rpm] - Potencia no eixo, P_a [W].	133
6.10	Curva característica. Posición fixa distribuidor. Velocidade de xiro, n [rpm] - Rendimento total [%].	134
7.1	Fotografía do banco de ensaios.	136
7.2	Esquema do banco de bombas.	136
7.3	Esquema de funcionamento de bombas en serie.	139
7.4	Esquema de funcionamento de bombas en paralelo.	139
7.5	Curva característica bomba. $H - Q$	146
7.6	Curva característica bomba. $P - Q$	147
7.7	Curva característica bomba. $\eta_t - Q$	148
7.8	Curva característica coas bombas traballando en serie. $H - Q$	149
7.9	Curva característica coas bombas traballando en paralelo. $H - Q$	150
8.1	Fotografía do banco de ensaios.	152
8.2	Depósito de nivel constante.	153
8.3	Detalle das válvulas de impacto ou de peche rápido.	154
8.4	Detalle das chemineas de equilibrio.	154
8.5	Variación teórica da presión na válvula, sen considerar perdidas por fricción.	157
8.6	Variación real da presión na válvula, considerando perdidas por fricción.	158
8.7	Esquema da evolución do golpe de ariete, de arriba cara abaixoa, evolución temporal.	159

8.8 Pulsos de presión sen cheminea de equilibrio.	166
8.9 Pulsos de presión con cheminea de equilibrio.	168

Capítulo 1

Medición nun chorro libre de aire

1.1 Descripción do banco de ensaios

No banco de ensaios desta practica, fotografía da figura 1.1, o elemento más importante é un soprador de aire, que dende o interior da bancada principal subministra aire que se descarga á atmosfera a través do orificio de saída. A regulación do caudal faise cunha válvula manual.

Está dotado de dúas columnas de auga, unha para a medida da presión no interior da cámara, e outra acoplada a un tubo de Pitot para a medida da velocidade do chorro na atmosfera. O equipo ten unha guía cilíndrica vertical escalada, na que se conectan os dous sistemas de medida principais:

- O xa mencionado tubo de Pitot, está acoplado mediante parafusos de aperte ao eixo, posibilitando o xiro do dispositivo. Emprégase un goniómetro graduado para a realización de medidas en diferentes alturas e ángulos respecto ao eixe vertical do chorro. Esta versatilidade permite caracterizar a evolución do chorro na atmosfera e a súa apertura.
- Un medidor da forza xerada polo chorro de aire a diferentes alturas, empregando, ben un prato plano ou ben un cilíndrico.

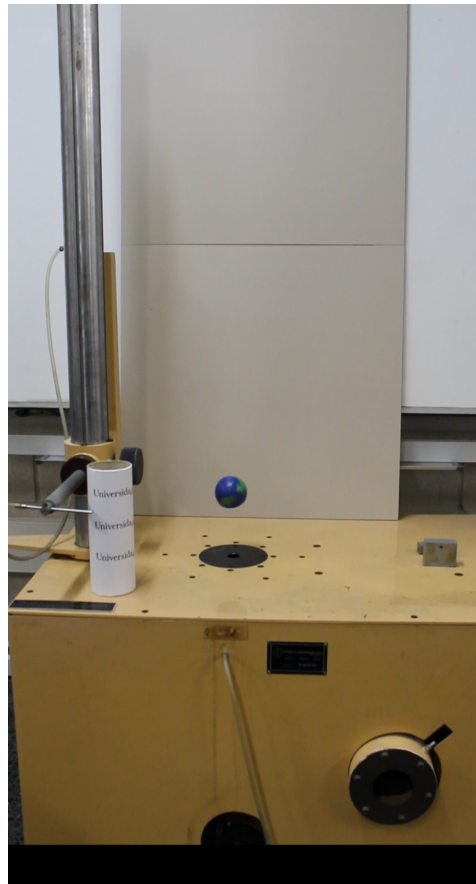


Figura 1.1: Banco de ensaios de chorro libre.

1.2 Normas de seguridade

En beneficio de todos e co fin de evitar contratempos innecesarios, débense cumplir escrupulosamente as seguintes medidas de seguridade:

- Non obstruír por completo a saída do chorro de aire.
- Manipular coidadosamente o equipo (evitar caídas sobre a bancada) tanto nas medicións de forza coma nas de velocidade.
- Non regular o caudal do chorro de aire durante a realización da práctica.
- En caso de ruído ou vibracións excesivas ou anómalas, apagar o equipo.
- Consultar ao profesor responsable da práctica ante calquera dúbida.

1.3 Obxectivos

A realización desta práctica ten como obxectivos os seguintes:

- Demostración experimental dos principios de conservación da masa e conservación da cantidade de movemento.
- Determinación da forza exercida polo chorro sobre un obxecto coma consecuencia da desviación das liñas de fluxo a diferentes distancias á tobeira.
- Introdución ao comportamento dos fluxos libres ou non confinados, en contraposición cos fluxos en condutos.

1.4 Fundamentos

Entendemos por turbulencia libre a turbulencia dunha corrente que non circula entre paredes ríxidas. Distinguimos tres casos: estelas (ou sombras dinámicas), bordes de chorro libre e o propio chorro libre obxecto do experimento. Son movementos moito máis inestables que os confinados (Re

que marca a transición $\cong 10^2$). Os esforzos viscosos son desprezables fronte aos turbulentos. Ademais, os problemas de turbulencia libre teñen sempre carácter de capa límite, é dicir, a extensión transversal é pequena en relación á lonxitudinal e existe un forte gradiente de velocidade na dirección transversal.

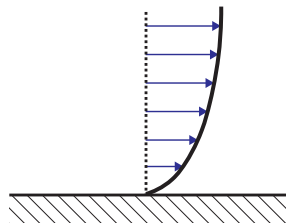


Figura 1.2: Distribución/perfil de velocidades nas proximidades dunha parede (capa límite).

1.4.1 Chorro libre

Fórmase un chorro libre cando unha corrente sae por un orificio. Prescindindo das velocidades moi pequenas, o chorro libre faise turbulento por completo case inmediatamente, consecuencia pola cal se mestura parcialmente co fluído ambiente en repouso, que é parcialmente arrastrado augas abaixio, crecendo así o caudal e a anchura, e diminuíndo a velocidade, figura 1.3. O impulso consérvase.

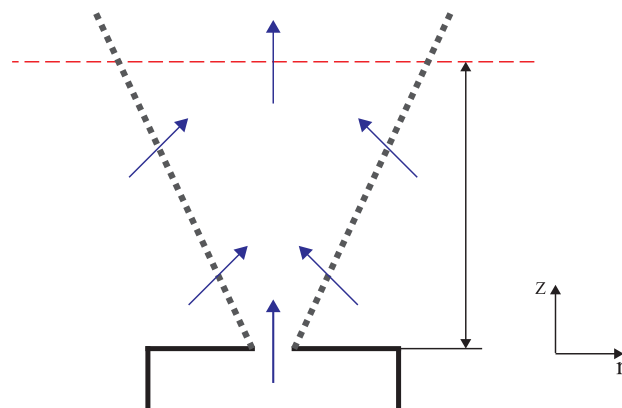


Figura 1.3: Esquema simplificado do fluxo de aire no chorro creado.

Ao saír, o chorro faino cun certo perfil de velocidades, que pode ser uniforme. Con todo, o fluído exterior frea a corrente e nos bordes do chorro orixínanse capas de mestura que proporcionan unha transición suave entre o fluído exterior en repouso e o que está en movemento no chorro. Estas zonas de mestura ensánchanse a medida que aumentamos en altura do xeito amosado na figura 1.3.

A masa que leva o chorro é da mesma orde da que se incorpora, e polo tanto, pode sufrir incrementos da orde de ela mesma. Con todo, o impulso que se incorpora pola dirección radial anúllase por simetría, polo que a cantidade de movemento que entra polo orificio é a mesma que a que sae pola parte superior do mesmo.

1.4.2 Tubo de Pitot

Analizando a figura 1.4, cos puntos indicados podemos relacionar o estado enerxético entre os diferentes puntos seguindo unha liña de corrente.

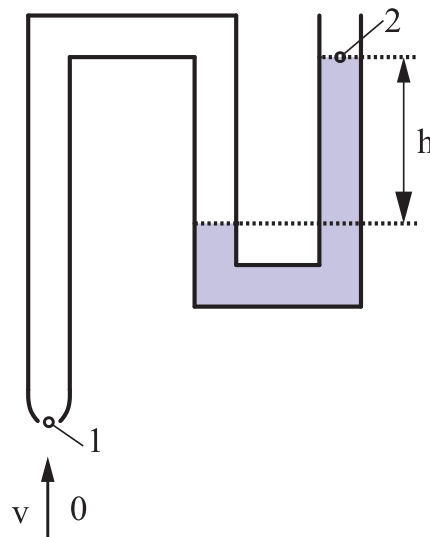


Figura 1.4: Esquema simplificado de funcionamento dun tubo de Pitot.

O punto 1 é un punto de remanso ($v_1 = 0$). Aplicando Bernoulli entre 0 e 1, obtense:

$$p_1 - p_0 = \frac{\rho_{aire} V_0^2}{2}$$

Como o chorro se move no aire, $p_0 = p_a$. Entre os puntos 1 e 2, pódese aplicar a ecuación fundamental da fluidoestática, e ao ser $p_2 = p_a$, desprezando pesos de columna de aire, obtense:

$$g\rho_{augah} = \frac{1}{2}\rho_{aire}v^2$$

de modo que a velocidade da corrente de aire se pode calcular:

$$v = \sqrt{\frac{2\gamma_{augah}}{\rho}}$$

A densidade do aire a unha temperatura T e unha presión p , ven dada pola ecuación dos gases ideais: $\rho = \frac{p}{RT}$, onde $R = 287 \text{ Nm/kgK}$.

Substituindo esta expresión na ecuación das velocidades, temos:

$$v = 273.3 \sqrt{\frac{hT}{p}}$$

con h en cm , T en K e p en N/m^2 . Como no noso caso o chorro desenrolase no aire, $p = p_a$:

$$v = 273.3 \sqrt{\frac{hT}{p_a}}$$

1.4.3 Caudal

O caudal que sae da cámara está dado por:

$$Q = KAv$$

onde A é a área de paso, v a velocidade e K o factor de descarga, función da xeometría da sección de saída.

$$A_t = \frac{\pi d_t^2}{4}, \quad K = 0.88, \quad d_t = 0.025 \text{ m}$$

Para calcular a velocidade na tobeira de saída aplicamos la ecuación de Bernoulli xeneralizada entre un punto da cámara e un da tobeira, segundo a figura 1.5.

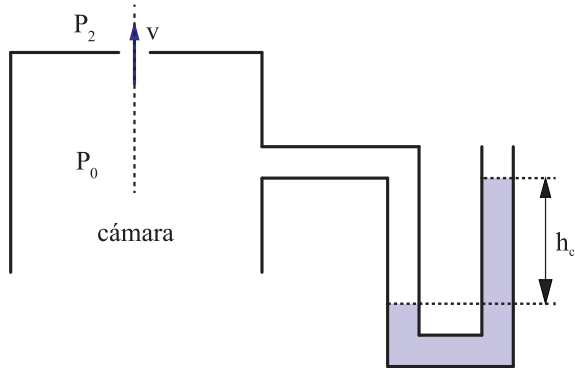


Figura 1.5: Esquema de Pitot.

Supoñendo que a velocidade na cámara é praticamente nula e desprezando o peso das columnas de aire, chegamos a:

$$v_t = 273.3 \sqrt{\frac{h_c T}{p_c}}$$

onde $p_c = p_a + \gamma_{auga} h_c = p_a + 9.81 \cdot 1000 \cdot 10^{-2} h_c = p_a + 9.81 h_c$, con h_2 en cm. Substituindo estes datos:

$$Q_t = 0.1025 \sqrt{\frac{h_c T}{p_c}}$$

1.4.4 Gasto másico

A través da sección de saída, podemos escribir o gasto másico como:

$$G_t = \rho Q_t = 3.57 \cdot 10^{-4} \sqrt{\frac{h_c p_c}{T}}$$

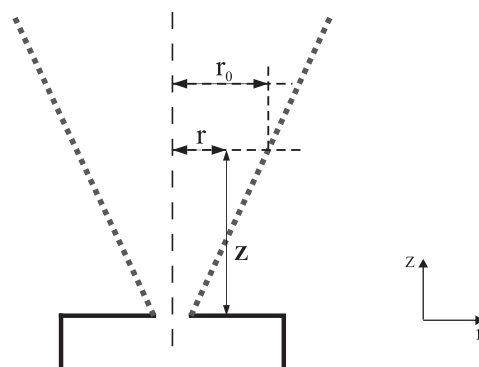


Figura 1.6: Comportamento do chorro, obtención da distribución radial de velocidades.

1.5 Metodoloxía experimental

1.5.1 Distribución radial de presións-velocidades

A velocidade é proporcional a h_3 (altura manométrica en calquera punto do chorro, como se pode ver na figura 1.4), da forma:

$$v = 237.3 \sqrt{\frac{h_3 T}{p_a}} \quad (1.1)$$

Por tanto, coa medida da presión h_3 podemos sacar conclusóns para a distribución de velocidades.

O primeiro experimento consiste en obter a distribución radial de velocidades ao variar en sentido radial a posición do tubo de Pitot, medindo h_3 , para un desprazamento radial, r . Efectuarase para distintas z (distancia á sección de saída medida sobre o eixe do chorro) para ver a variación da distribución de velocidades radiais na dirección de avance do chorro, figura 1.6. Unha vez feitas as medidas (táboa 1.1), representar na figura 1.8.

Débese comprobar que o chorro ten a forma indicada na figura 1.6, é dicir, o chorro diverxe a medida que aumenta a distancia á tobeira. Para iso representamos as alturas z ás que se realizan as medidas fronte aos radios do chorro (valor de r cando a velocidade se anula) a esas alturas. Grafiqúese neste caso a figura 1.9.

Así mesmo, débese comprobar tamén que a velocidade do chorro medida

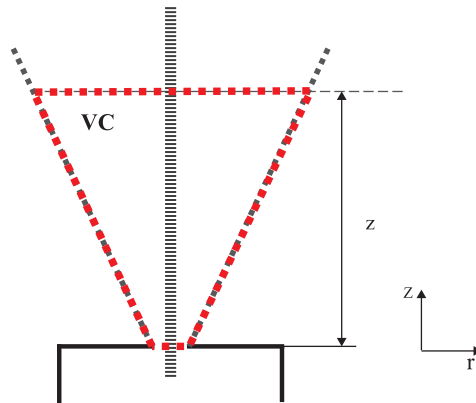


Figura 1.7: Volume de control de estudio do chorro.

no eixe varía inversamente coa distancia á tobera para $z/d_t > 10$. Para iso representamos v_t/v_{co} , sendo v_t a velocidade no centro da tobera v_{co} a velocidade do chorro no eixe, fronte a z/d_t , onde z é a distancia do tubo de Pitot á tobera e d_t é o diámetro da tobera. Graficaranse neste caso as velocidades no eixo, figura 1.10.

1.5.2 Gasto m醩ico

A ecuación de continuidade para un fluxo estacionario ven dada por:

$$0 = \int_{SC} \rho \vec{v} \cdot \vec{n} dS \quad (1.2)$$

Aplicando esta ecuación ao volume de control da figura 1.7, calculamos o gasto m醩ico a través da tobera e a través da sección superior. Pola diferenza entre ambos calculamos o gasto que se incorpora lateralmente ao volume de control.

O gasto m醩ico a través da sección superior calcúllase:

$$G = \int_S \rho \vec{v} \cdot \vec{n} dS = \int_S \rho v dS = \int_0^{r_0(z)} \rho v(r) 2\pi r dr = 2\pi \rho \int_0^{r_0(z)} v(r) r dr \quad (1.3)$$

onde $r_0(z)$ fai referencia a que o radio do chorro depende da altura á que se estea calculando o gasto.

Integrando numericamente:

$$G = 2\pi\rho \sum_{i=1}^{n-1} \frac{v_{i+1} + v_i}{2} \frac{r_{i+1} + r_i}{2} (r_{i+1} - r_i) \quad (1.4)$$

onde n é o número de puntos de medida.

1.5.3 Cantidad de movemento

A ecuación da cantidad de movemento:

$$\frac{\partial}{\partial t} \int_{VC} \rho \vec{v} dV + \underbrace{\int_M \rho \vec{v}(\vec{v} \cdot \vec{n}) dS}_{M} = \int \bar{\tau} \vec{n} dS \quad (1.5)$$

Por estar en réxime estacionario e non aplicarse esforzos a través das paredes do volume de control, todos os términos anularíanse excepto o M .

- Impulso a través da sección superior:

$$\vec{F} = \int_S \rho \vec{v}(\vec{v} \cdot \vec{n}) dS = \int_S \rho v^2 dS \vec{k} = 2\pi\rho \int_o^{r_0(z)} v^2(r) r dr \vec{k} \quad (1.6)$$

Integrando numericamente:

$$F = 2\pi\rho \sum_{i=1}^{n-1} \left(\frac{v_{i+1} + v_i}{2} \right)^2 \frac{r_{i+1} + r_i}{2} (r_{i+1} - r_i) \quad (1.7)$$

- Impulso a través da tobeira:

$$\vec{F}_t = \int_{A_t} \rho \vec{v}(\vec{v} \cdot \vec{n}) dS = \rho v_t^2 A_t \vec{k} = \rho v_t^2 \frac{\pi d_t^2}{4} \vec{k} \quad (1.8)$$

- Medida directa da forza exercida polo chorro.

A medida directa da forza de impulso faise substituíndo o tubo de Pitot polo prato difusor, facendo que o centro do prato coincida co centro da tobeira. Tomaranse medidas para distintos valores do parámetro z/d_t , onde z é a distancia do prato á tobeira e d_t é o

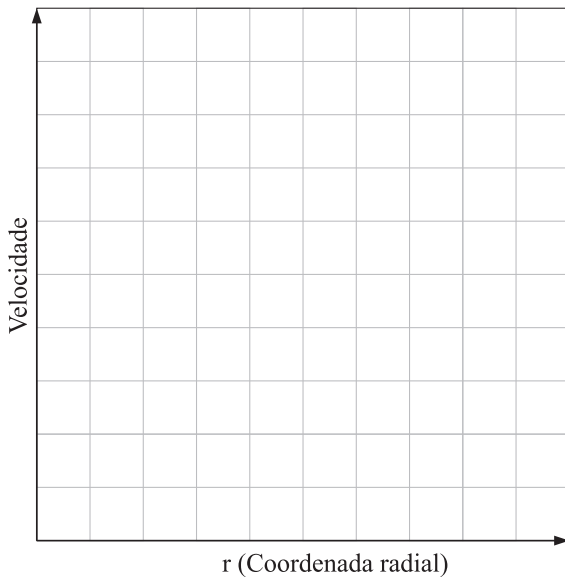


Figura 1.8: Comportamento do chorro - Distribución radial de velocidades.

diámetro da tobeira. Datos que se deben anotar na táboa 1.2, e graficar a evolución do impulso medido coa altura na figura 1.11.

Débese comprobar que os valores obtidos en 1.6 e 1.7 coinciden, (consérvese o impulso). E coincidirá tamén coa ecuación 1.8 mentres a elevación do prato sexa intermedia. Para valores de z elevados, as medidas fallan porque o diámetro do prato non é o suficientemente grande para actuar como difusor. Débese observar que para distancias pequenas, a forza actuá como forza de succión, non conseguindo o efecto buscado de impulso transmitido.

A medida que o prato aproxímase á tobeira, prodúcese un efecto de colchón de aire consecuencia do fluxo radial no espazo anular entre prato de impulsos e a superficie de saída da tobeira. A distancias moi pequenas, da orde de 0.05 veces o diámetro da tobeira, a forza cambia de signo, alcanzando valores positivos moi altos, xa que o sentido do fluxo invértese.

1.6 Toma de datos e traballo de gabinete

Ensaio para $h_c =$										
	z / d_t	2	4	6	8	12	16	24	32	
r (cm)	$z = 0$	5	10	15	20	30	40	60	80	
0										
0.4										
0.8										
1.2										
1.6										
2										
2.4										
2.8										
3.2										
3.6										
4										
5										
6										
7										
8										

Táboa 1.1: Táboa de resultados. Medidas directas co tubo de Pitot.

Prato difusor ($h_c = $)		
z	z / d_t	$F (N)$
0	0	
1	0.4	
2	0.8	
5	2	
10	4	
15	6	
25	10	
30	12	
35	14	
40	16	
45	18	
50	20	
55	22	
60	24	
70	28	
80	32	
90	36	

Táboa 1.2: Táboa de resultados. Medidas directas de forza co prato difusor.

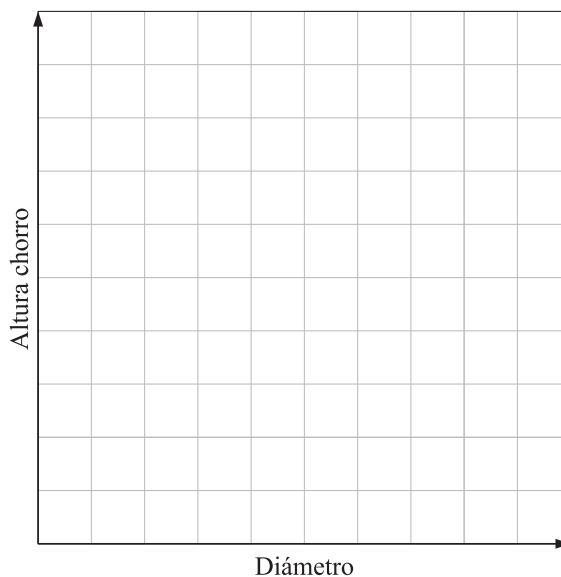


Figura 1.9: Comportamento do chorro - Evolución do diámetro do chorro coa altura.

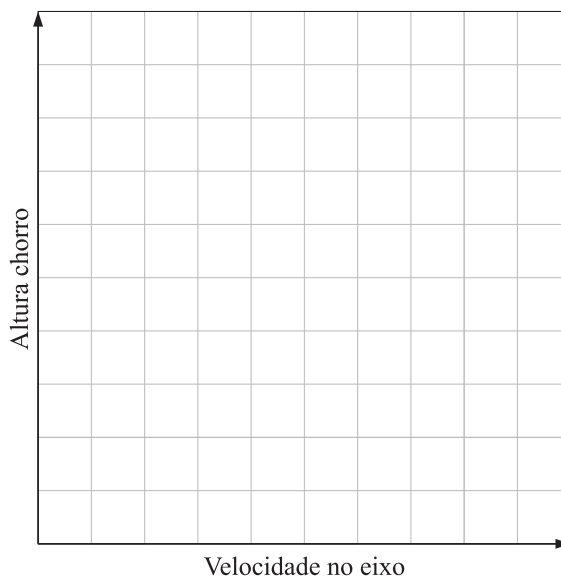


Figura 1.10: Comportamento do chorro - Evolución das velocidades no eixo coa altura.

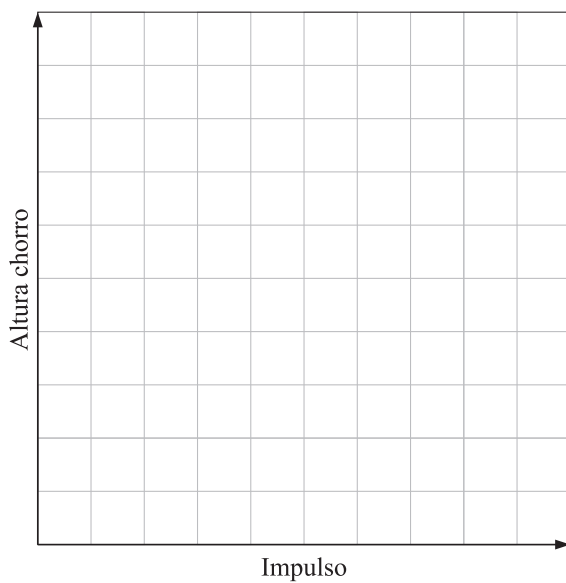


Figura 1.11: Comportamento do chorro - Evolución da impulso coa altura.

